

地震観測シミュレーションによる主冷却機建物の
地震応答解析モデルの妥当性確認

1. 概要

本資料は、主冷却機建物について平成 23 年（2011 年）東北地方太平洋沖地震の本震（以下「3.11 地震」という。）と、令和 3 年に観測された地震の観測記録を用いたシミュレーション解析結果を示し、建物と地盤の相互作用を考慮した質点系モデルの妥当性を説明するものである。

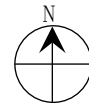
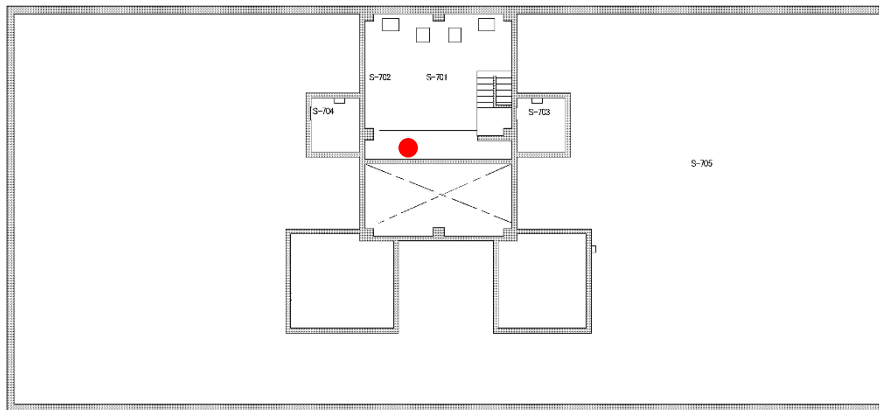
2. 主冷却機建物の地震計設置位置及び観測記録

高速実験炉原子炉施設には、地震時の応答特性を把握することを目的として、主冷却機建物の 4 階、1 階、地下 2 階に合計 3 台の地震計を設置している。

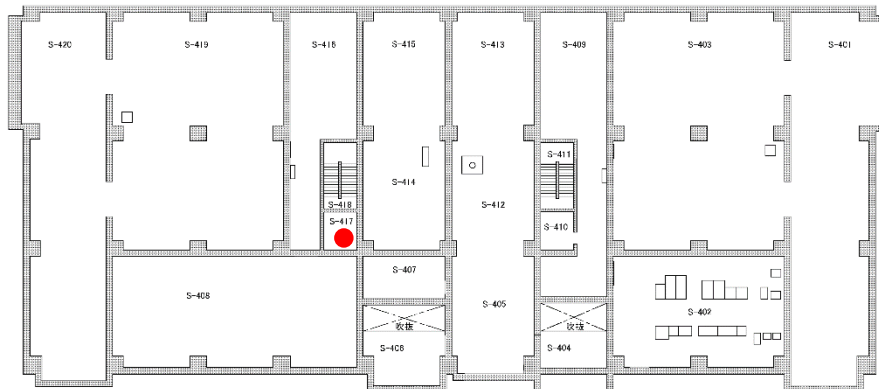
なお、3.11 地震時に設置されていた地震計は、主冷却機建物の 4 階、地下 2 階の 2 台でアナログ式 SMAC 強震計であった。3.11 地震後にいずれもデジタル式地震計に更新するとともに、新たに主冷却機建物の 1 階に 1 台を追加設置している。

主冷却機建物の地震計の設置位置を第 2.1 図に示す。

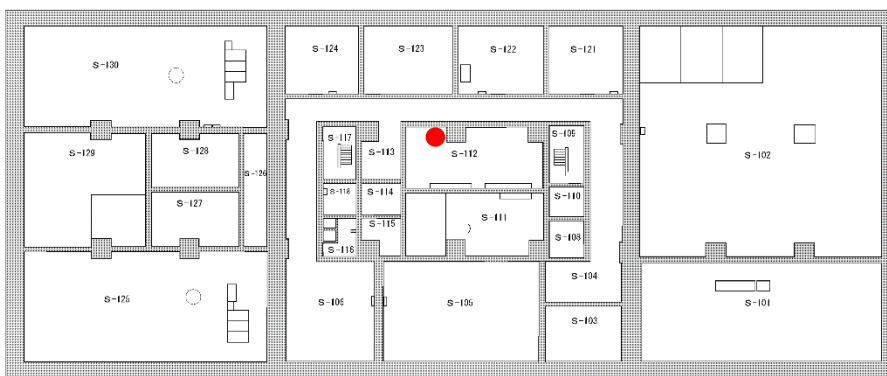
主冷却機建物 4 階



主冷却機建物 1 階



主冷却機建物地下 2 階

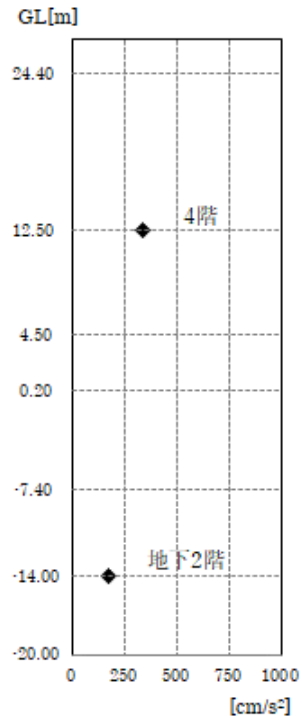


第 2.1 図 地震計の設置位置

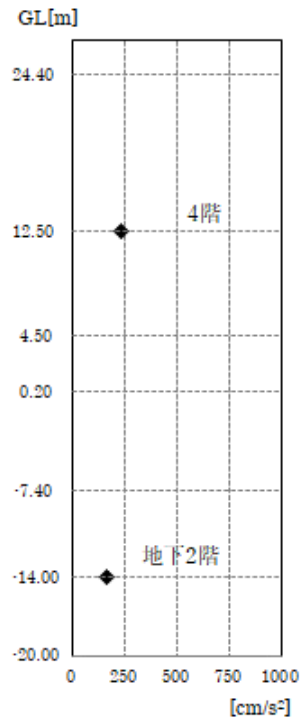
2.1 3.11 地震 (2011 年 3 月 11 日)

3.11 地震 (2011 年 3 月 11 日) の観測記録の最大応答加速度を第 2.2 図に示す。3.11 地震時 (2011 年 3 月 11 日) の観測記録の加速度応答スペクトルを第 2.3 図及び第 2.4 図に示す。

3.11 地震観測記録は、スクラッチレコードフィルムにケガキ針でひっかき記録するアナログ式 SMAC 強震計で採取されたデータであることから、スクラッチレコードフィルムをフィルムスキャナにより読み込み、グラフ画像数値化ソフトを用いてサンプリング周期 0.01s 毎にデジタル化して時刻歴波形化し、最大応答加速度、加速度応答スペクトルを求めたものである。

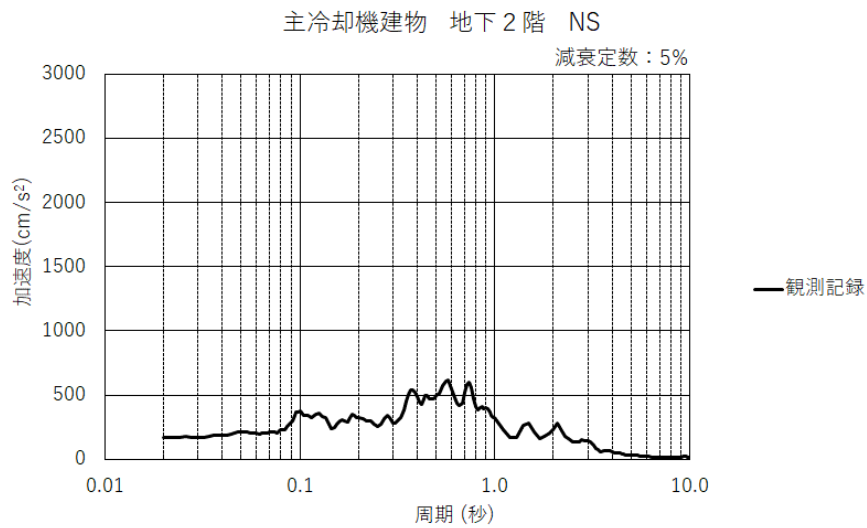
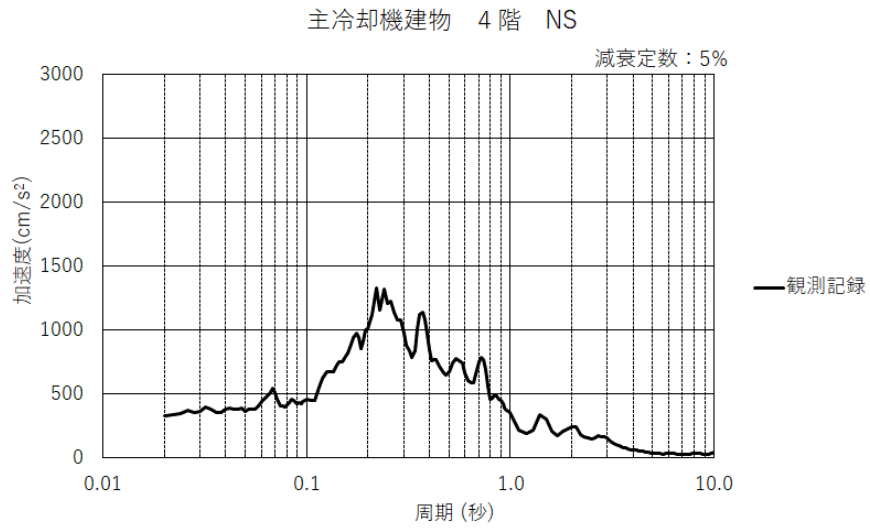


主冷却機建物 NS

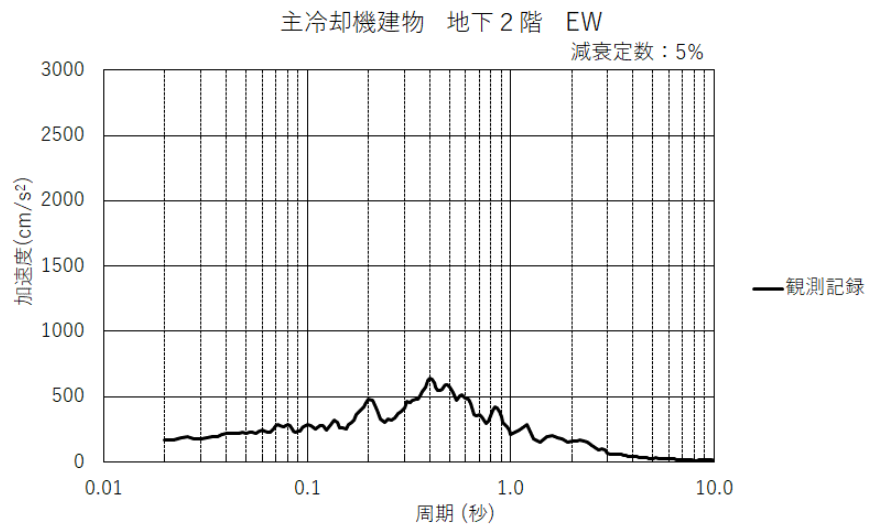
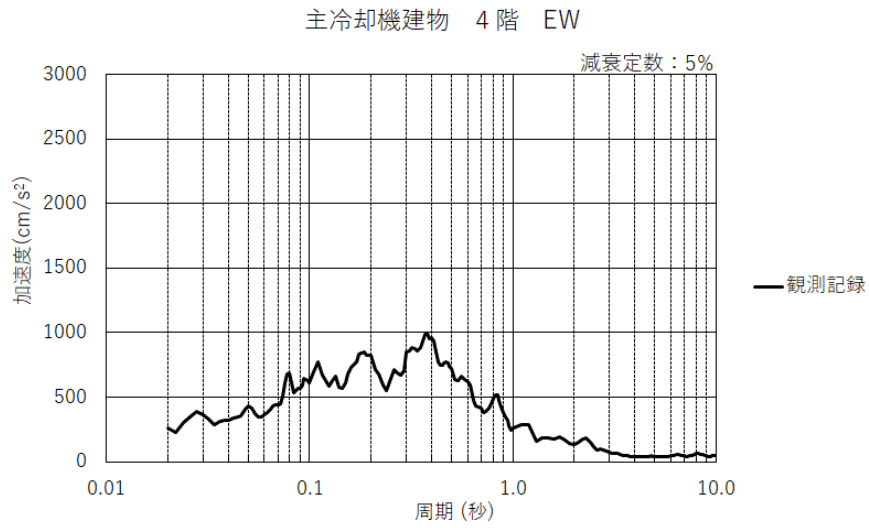


主冷却機建物 EW

第 2.2 図 3.11 地震（2011 年 3 月 11 日）の最大応答加速度



第 2.3 図 3.11 地震 (2011 年 3 月 11 日) の加速度応答スペクトル (NS 方向) (1/2)

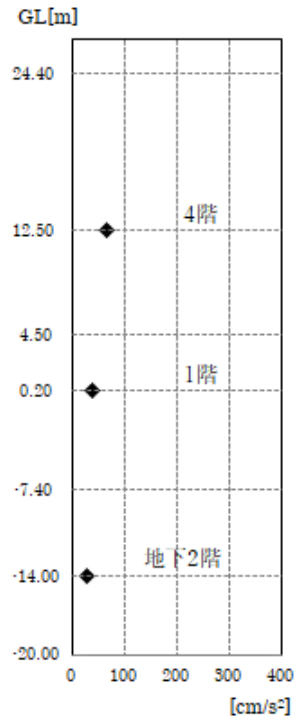


第 2.4 図 3.11 地震 (2011 年 3 月 11 日) の加速度応答スペクトル (EW 方向) (2/2)

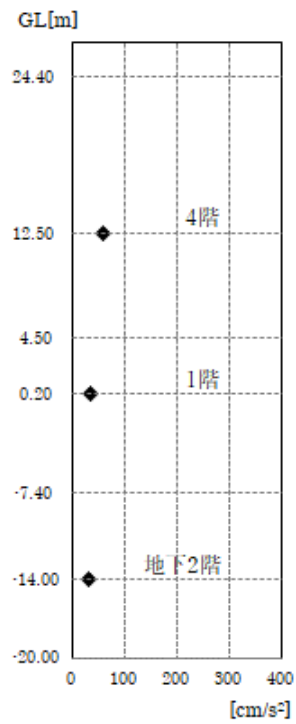
2.2 福島県沖地震（2021年2月13日）

福島県沖地震（2021年2月13日）の最大応答加速度を第2.5図に示す。福島県沖地震（2021年2月13日）の加速度応答スペクトルを第2.6図及び第2.7図に示す。

福島県沖地震は、3.11地震後に更新したデジタル式地震計で収録されたデータのうち、最も応答加速度が大きかった地震である。

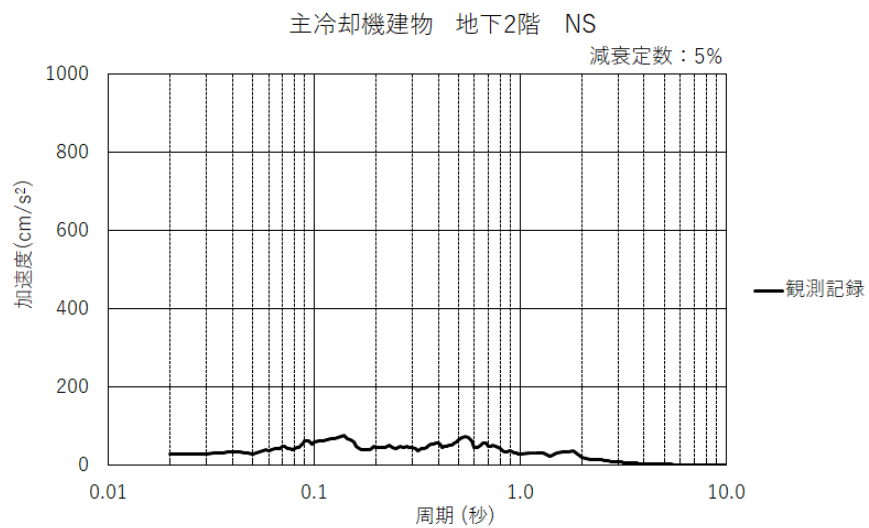
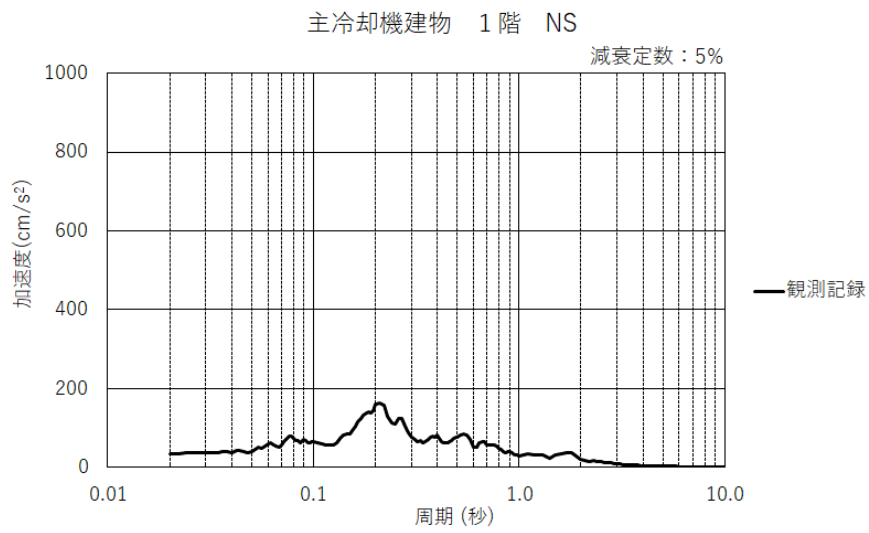
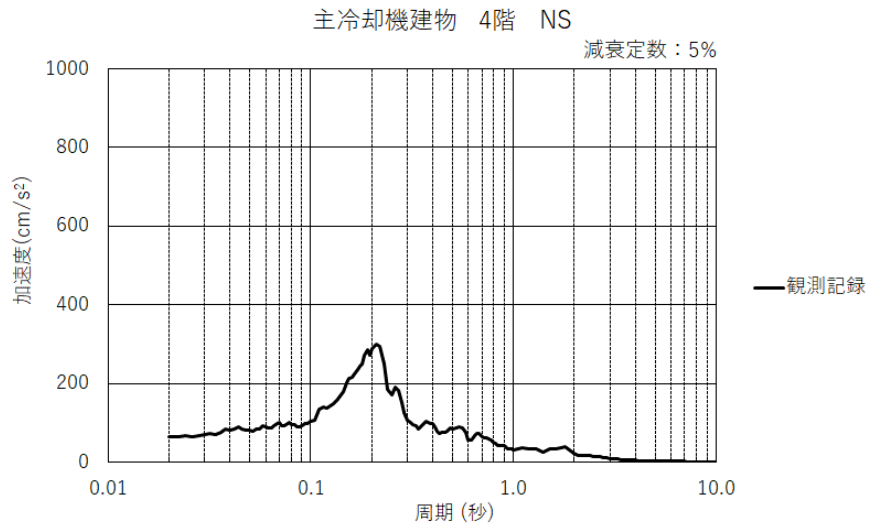


主冷却機建物 NS

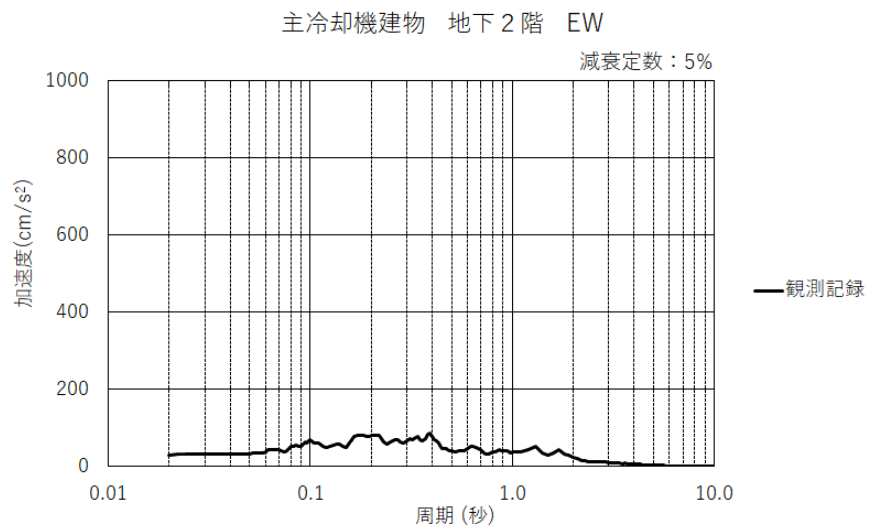
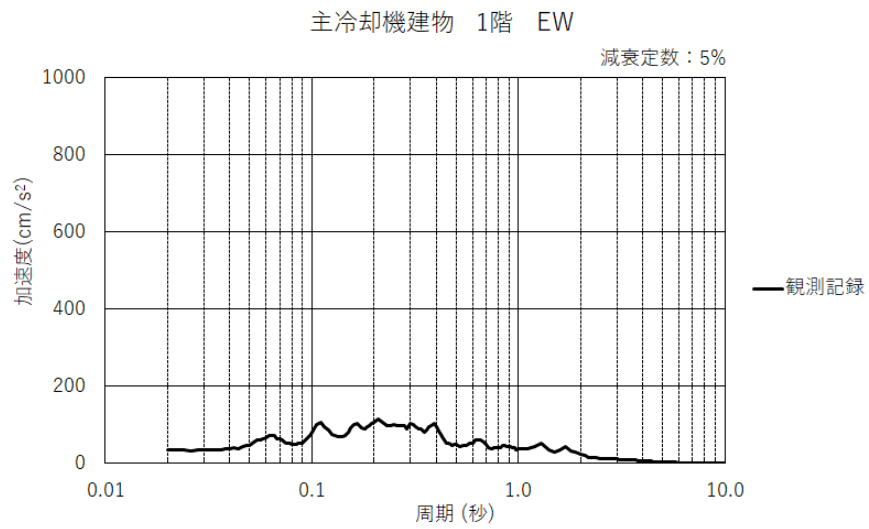
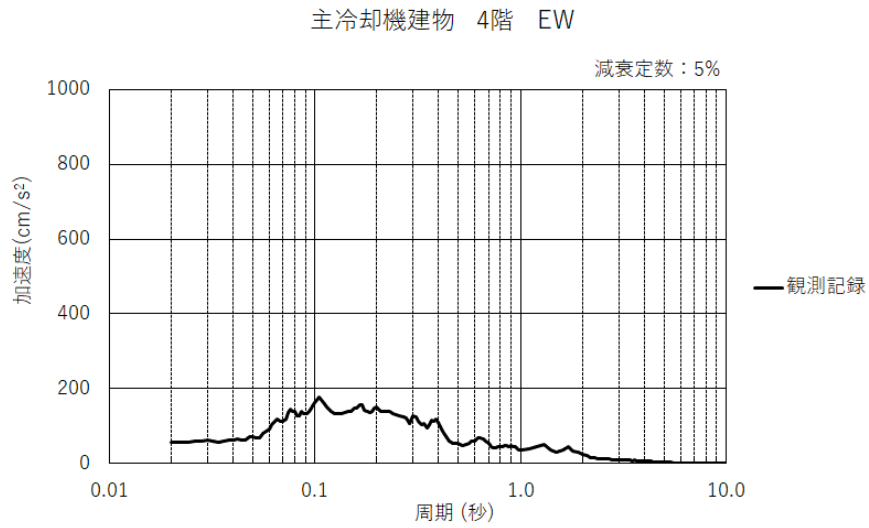


主冷却機建物 EW

第 2.5 図 福島県沖地震（2021 年 2 月 13 日）の最大応答加速度



第 2.6 図 福島県沖地震（2021 年 2 月 13 日）の加速度応答スペクトル（NS 方向）（1/2）



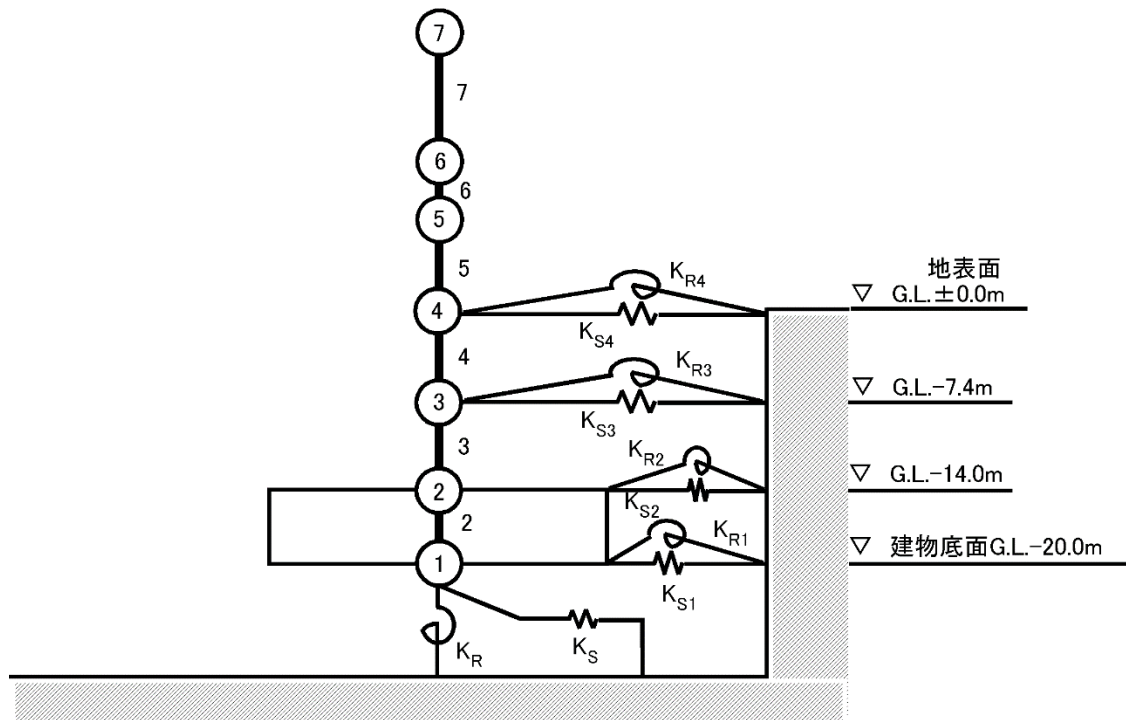
第 2.7 図 福島県沖地震（2021 年 2 月 13 日）の加速度応答スペクトル（EW 方向）（2/2）

3. 入力地震動及び解析モデル

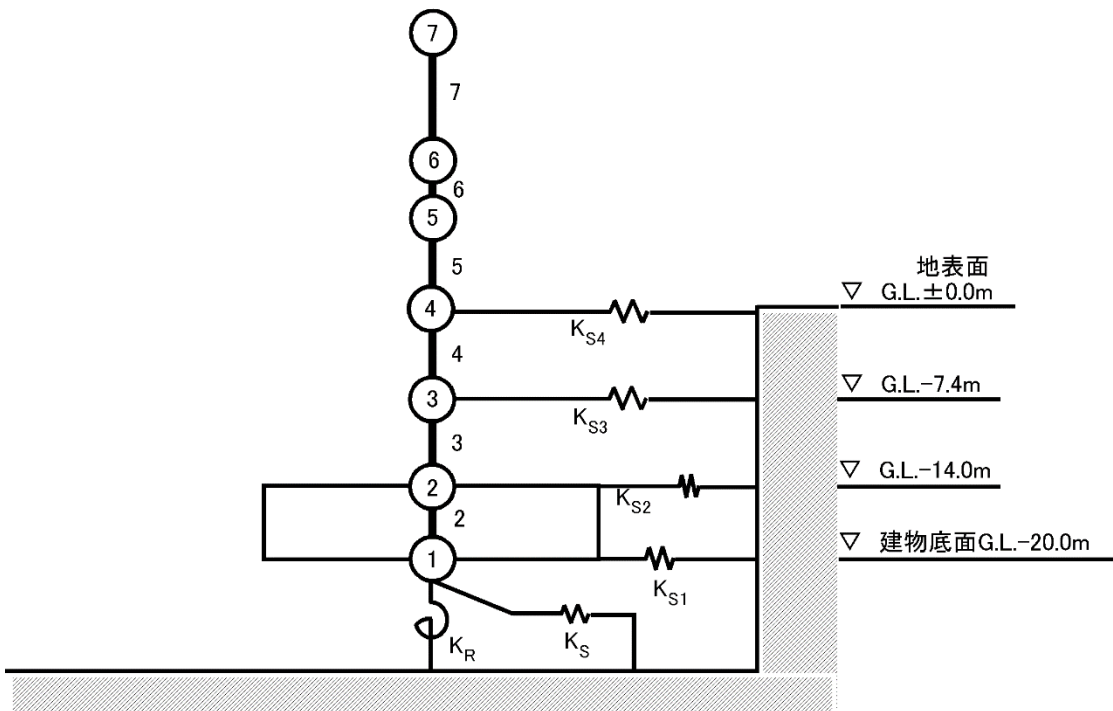
シミュレーション解析の入力地震動は、3.11 地震、福島県沖地震の基礎上の地震観測記録から算定し、建物の基礎底面及び側面地盤ばね位置に入力する。

解析モデルは、主冷却機建物の地震応答解析で用いた地盤の側面ばねに水平ばねと回転ばねを考慮したケース 1 と、地盤の側面ばねに水平ばねのみを考慮したケース 2 を設定して比較する。

主冷却機建物の解析モデルを第 3.1 図に示す。



ケース 1 (地盤の側面ばねに水平ばね+回転ばねを考慮)



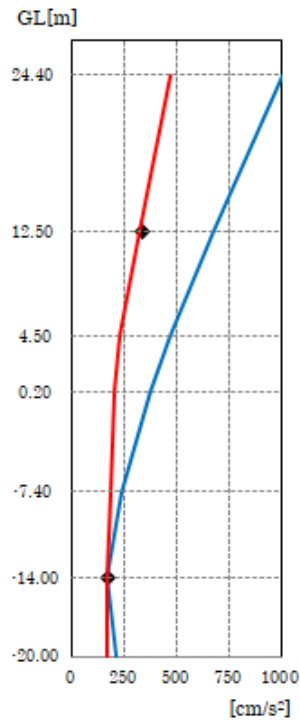
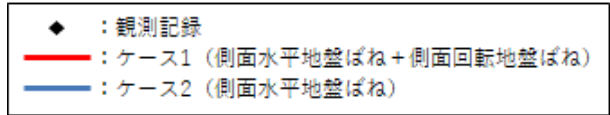
ケース 2 (地盤の側面ばねに水平ばねのみ考慮)

第 3.1 図 主冷却機建物の解析モデル

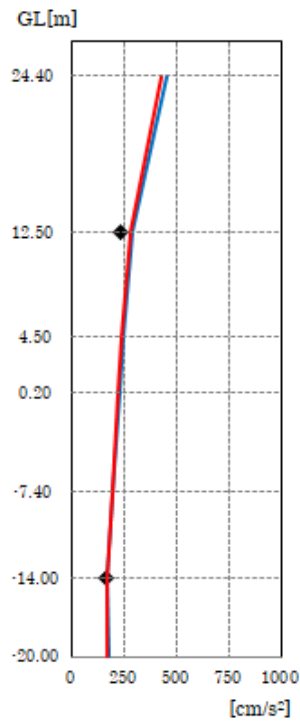
4. 地震観測シミュレーション解析結果

4.1 3.11 地震のシミュレーション解析結果

3.11 地震のシミュレーション解析結果と観測記録の最大応答加速度の比較を第 4.1 図に示す。3.11 地震のシミュレーション解析結果と観測記録の加速度応答スペクトルの比較を第 4.2 図及び第 4.3 図に示す。

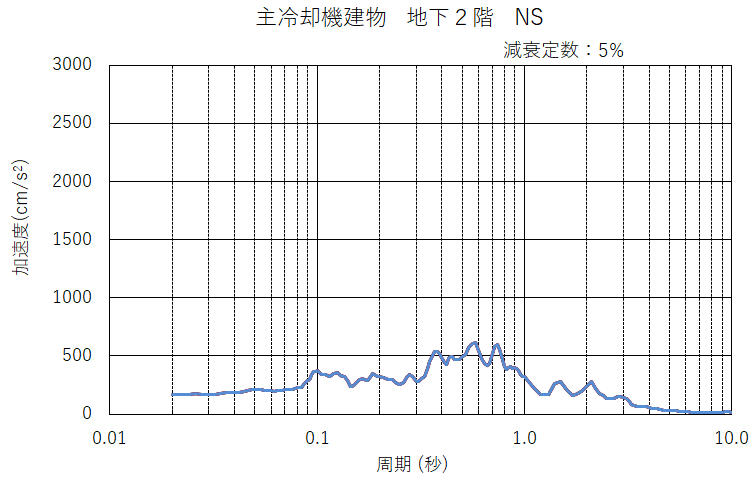
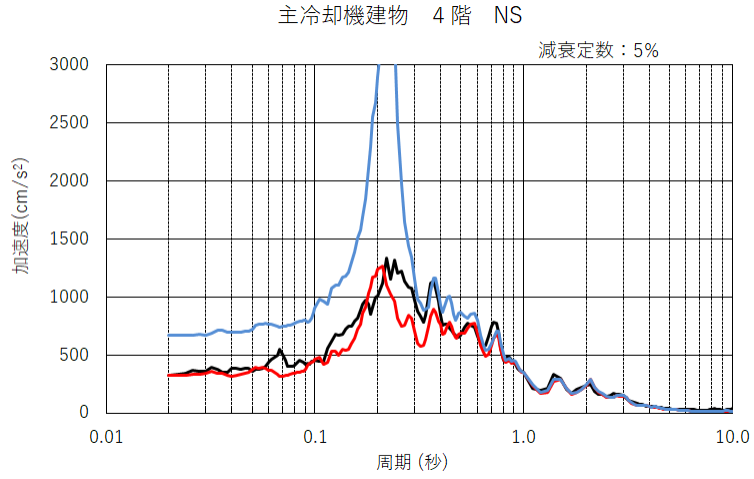
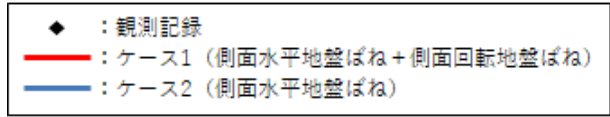


主冷却機建物 NS

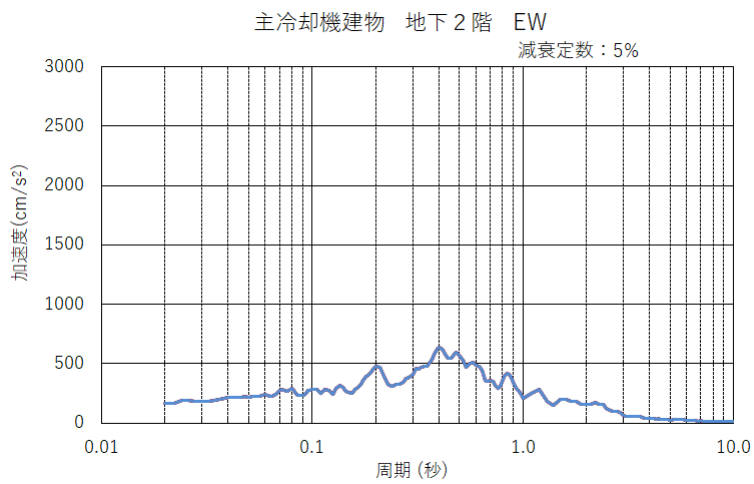
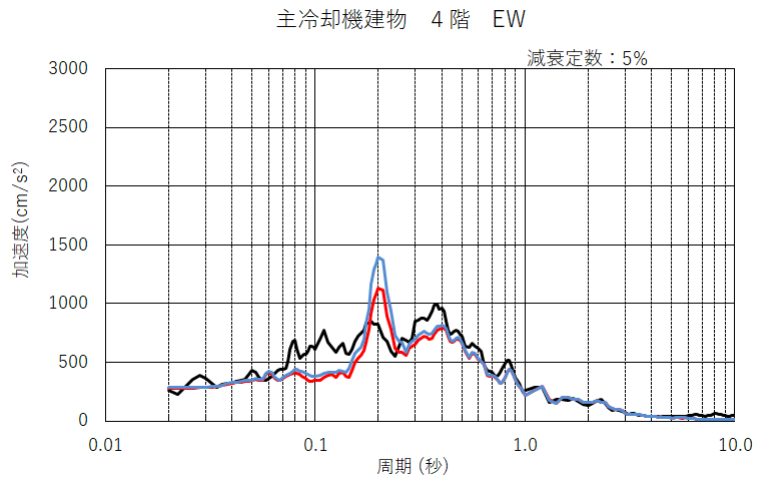
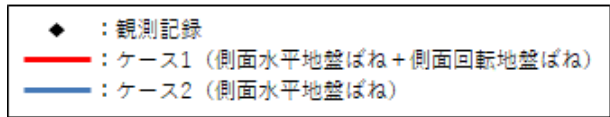


主冷却機建物 EW

第 4.1 図 3.11 地震のシミュレーション解析結果と観測記録の最大応答加速度の比較



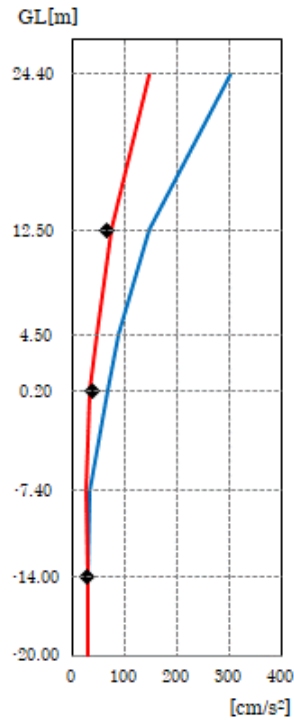
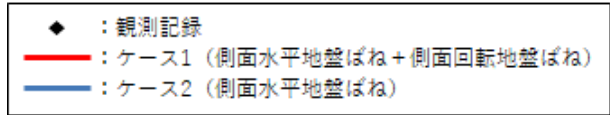
第 4.2 図 3.11 地震のシミュレーション解析結果と観測記録の加速度応答スペクトルの比較 (NS 方向) (1/2)



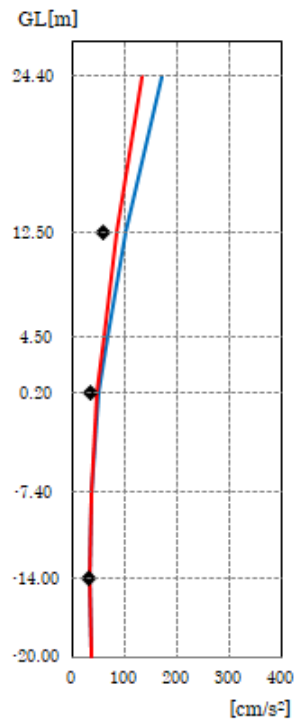
第 4.3 図 3.11 地震のシミュレーション解析結果と観測記録の加速度応答スペクトルの比較 (EW 方向) (2/2)

4.2 福島県沖地震のシミュレーション解析結果

福島県沖地震のシミュレーション解析結果と観測記録の最大応答加速度の比較を第 4.4 図に示す。福島県沖地震のシミュレーション解析結果と観測記録の加速度応答スペクトルの比較を第 4.5 図及び第 4.6 図に示す。

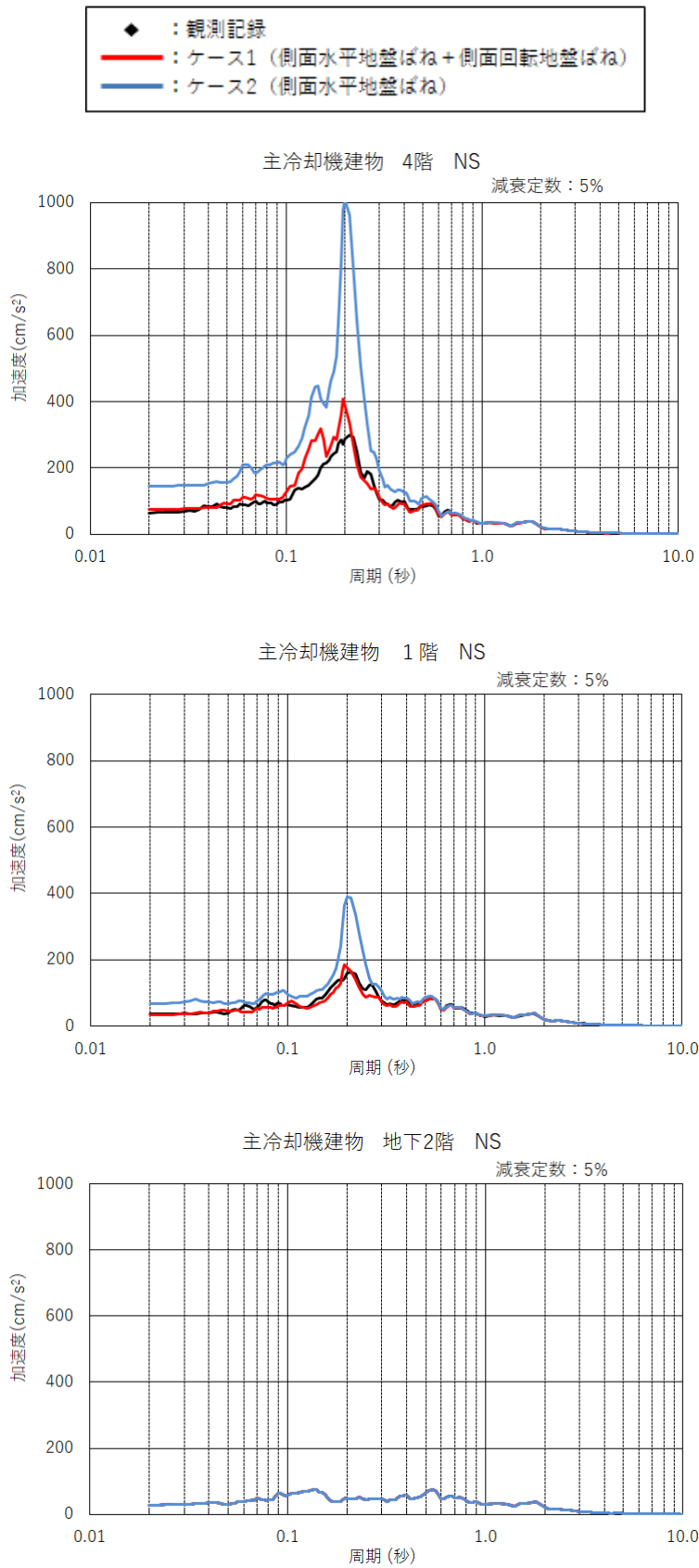


主冷却機建物 NS

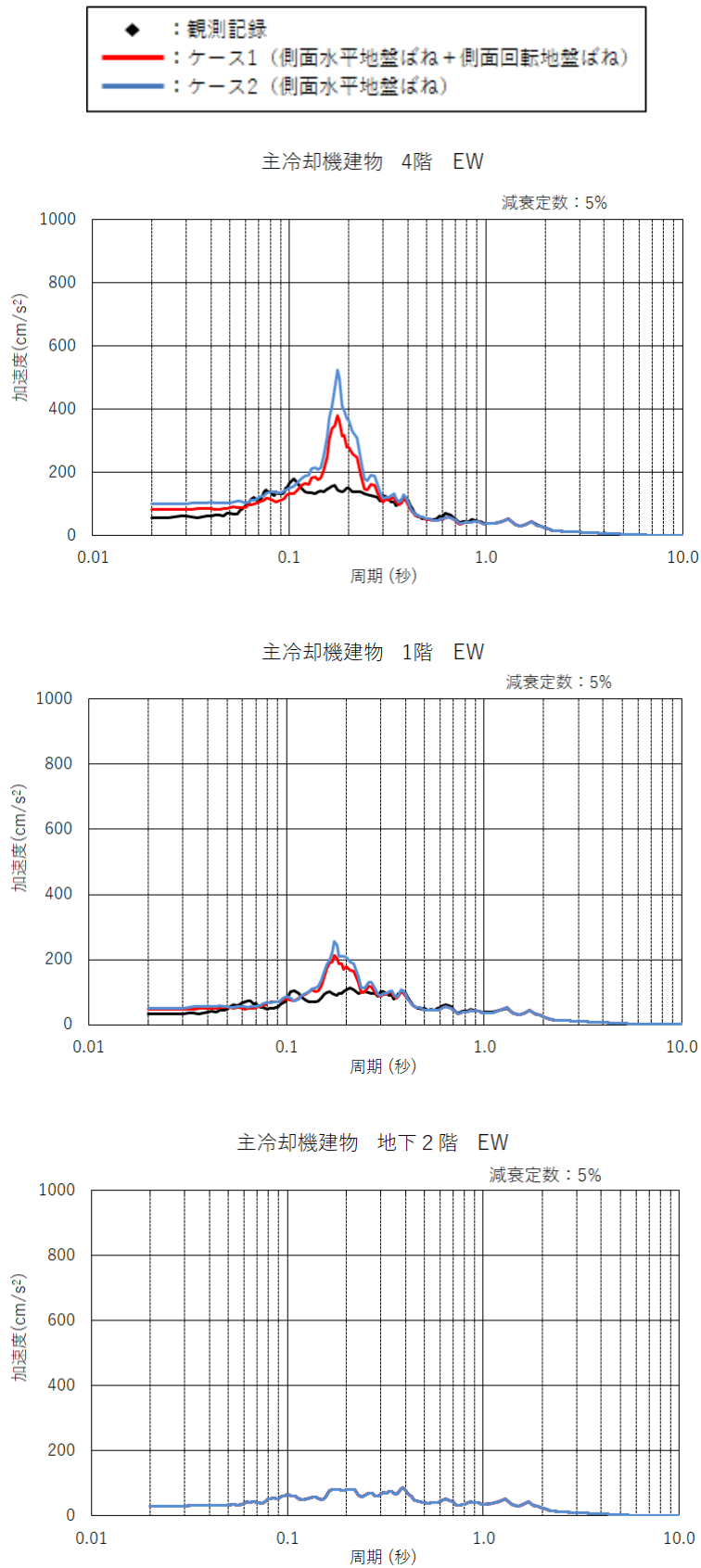


主冷却機建物 EW

第 4.4 図 福島県沖地震のシミュレーション解析結果と観測記録の最大応答加速度の比較



第 4.5 図 福島県沖地震のシミュレーション解析結果と観測記録の加速度応答スペクトルの比較 (NS 方向) (1/2)



第 4.6 図 福島県沖地震のシミュレーション解析結果と観測記録の加速度応答スペクトルの比較 (EW 方向) (2/2)

5. 評価結果

3.11 地震（2011 年 3 月 11 日）及び福島県沖地震（2021 年 2 月 13 日）の観測記録と解析結果の比較から、ケース 2（側面水平地盤ばね）よりケース 1（側面水平地盤ばね＋側面回転地盤ばね）の方が最大応答加速度、応答スペクトルとも整合性が良いため、主冷却機建物の地震応答解析で用いているケース 1（側面水平地盤ばね＋側面回転地盤ばね）は、妥当な解析モデルであることを確認している。